

НЕУСТАНОВИВШЕЕСЯ РАДИАЛЬНОЕ РАСПИРЕНИЕ ГАЗА  
В ЗАТОПЛЕННОЕ ПРОСТРАНСТВО  
ОТ ВНЕЗАПНО ВКЛЮЧЕННОГО СТАЦИОНАРНОГО  
ИСТОЧНИКА

С. Ф. Чекмарев

(Новосибирск)

В работе рассматривается задача о радиальном расширении газа в среду низкого давления от внезапно включенного стационарного источника с  $M \geq 1$ . Рассмотрение касается главным образом неустановившегося течения газа на начальном этапе расширения. Для начального этапа расширения с помощью простого приближенного решения задачи установлены закономерности движения поверхностей сильного разрыва, определяющих структуру области течения. Предложен метод и получено численное решение задачи для вязкого теплопроводного газа в общей постановке.

Обозначения

$t$ — радиус,	$x$ — расстояние от среза сопла
$r$ — время,	вдоль оси струи,
$T$ — температура,	$V_\alpha$ — скорость перемещения по-
$p$ — давление,	верхности $\alpha$ ,
$\rho$ — плотность,	$m_{\alpha,\beta}$ — масса газа, заключенного
$u$ — скорость газа,	в области $(r_\alpha, r_\beta)$ ,
$\chi$ — отношение теплоемкостей,	$c$ — скорость звука,
$M$ — число Маха,	$\mu$ — динамическая вязкость.

Индексы

$v=1, 2$ — цилиндрическая и сфериче-	$\infty$ — условия в затопленном
ская симметрия,	пространстве,
' — размерная величина,	$0$ — условия адиабатического
$-(+)$ — левая (правая) сторона по-	торможения,
верхности сильного разры-	$*$ — звуковая поверхность,
ва,	$1$ — поверхность источника

Стационарные сверхзвуковые течения нагретого газа в соплах и свободных струях за недорасширенными соплами широко используются в лабораторной практике для проведения физических и аэродинамических исследований. При этом нередко нагрев газа в форкамере газодинамического источника осуществляется с помощью импульсного электрического разряда или ударного сжатия газа [1,2]. В этих случаях истечение газа из форкамеры в расширяющуюся часть сопла или в свободное пространство начинается в результате резкого повышения давления в форкамере. В критическом сечении сопла быстро устанавливается стационарный режим течения, и дальнейшее развитие течения газа в расширяющейся части сопла или в свободном пространстве происходит уже при наличии в критическом сечении сопла стационарного источника газа с параметрами  $p_*$ ,  $T_*$ ,  $u_*$ , соответствующими параметрам торможения газа в форкамере  $p_0$  и  $T_0$ . Если  $p_0$  и  $T_0$  остаются постоянными достаточно продолжительное время, то в сопле или в струе устанавливается соответствующее стационарное течение. В реальном случае [1, 2] время, в пределах которого  $p_0$  и  $T_0$  можно считать постоянными, невелико. Поэтому важно знать, как формируется стационарное течение, особенно в центральной области потока, обычно используемой для проведения исследований.

Течение газа в центральной области струй, истекающих из осесимметричного или плоского сопла с сильным недорасширением потока, а также течение в осесимметричных или плоских соплах с прямолинейным контуром (при условии пренебрежения трением на стенах сопла) близко к радиальному течению (соответственно со сферической или цилиндрической симметрией) [1—3]. Идеализация исходной задачи приводит к задаче о радиальном (неустановившемся) расширении газа от внезапно включенного стационарного источника.

Для случая расширения газа в вакуум (в приложении к течению в соплах) задача была решена в [1]. В работе [3] (в приложении к струйным течениям) была исследована асимптотика течения при  $t \rightarrow \infty$  для расширения газа в затопленное пространство. В работах [1, 3] рассмотрение проводилось в рамках теории идеальной жидкости.

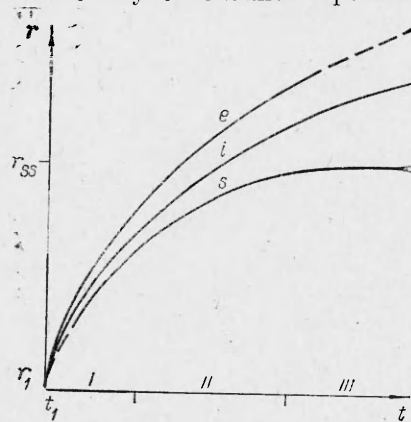
**1. Постановка задачи.** Пусть в бесконечном объеме покоящегося газа с известными параметрами состояния ( $p_\infty, T_\infty$ ) выделена сферическая или цилиндрическая поверхность радиуса  $r_1 \neq 0$ . Требуется определить развитие течения газа в области  $(r_1, \infty)$  с течением времени, если в некоторый момент  $t = t_1$  параметры газа на поверхности  $r = r_1$  скачком приобретают заданные значения  $p_1 > p_\infty, T_1, u_1 \geq 0 (M_1 \geq 1)$ , не меняющиеся с течением времени.

**2. Общая картина течения.** Проследим процесс развития течения при радиальном расширении газа (идеальной жидкости) в затопленное пространство от внезапно включенного стационарного источника с  $M_1 \geq 1$ . При этом частично будем пользоваться результатами работ [1, 3]. Качественная картина течения для  $v=1$  и  $v=2$  аналогична.

На фиг. 1 показаны пути движения поверхностей сильного разрыва, определяющих структуру области течения. Буквами  $i, e, s$  обозначены соответственно контактная поверхность, разделяющая газ источника и окружающий газ, ударная волна в окружающем газе, ударная волна в газе источника.

В начальный момент времени  $t = t_1$  скорость движения контактной поверхности  $V_i = u_1$ . Газ источника воздействует на окружающий подобно расширяющемуся цилиндрическому или сферическому поршню, и, поскольку по условиям задачи  $u_1 > 0$  достигается мгновенно, волна сжатия в окружающем газе в момент  $t_1$  будет центрированной. Поэтому следует считать, что сжатие окружающего газа с самого начала истечения будут происходить с участием ударной волны ( $e$ ).

С ростом  $r_i$  масса окружающего газа, вытесняемого «поршнем» и приводимого им в движение, и противодействие окружающего давления возрастают, тогда как движущий импульс, поставляемый источником в единицу времени, остается неизменным. Поэтому с течением времени движение поверхности  $i$  замедляется, что в свою очередь мешает свободному расширению газа, вытекающего из источника, и ведет к его накоплению перед поверхностью  $i$  и сжатию. В начальный период истечения процесс сжатия газа будет изэнтропическим, поскольку при  $t = t_1$  скорость поверхности  $i$  равна скорости «натекающего» на нее газа и разница в скоростях будет во времени непрерывна. Со временем волна изэнтропического сжатия переходит в ударную волну, путь движения которой показан сплошной кривой  $s$ ; штриховой участок кривой соответствует стадии изэнтропического



Фиг. 1

сжатия. Течение газа в области  $(r_1, r_s)$  (под сплошной кривой) не возмущено и совершается так, как если бы газ истекал в вакуум.

При  $t \rightarrow \infty; r_i, r_e \rightarrow \infty$ . При этом  $V_i \rightarrow 0$  и волна  $e$  вырождается в слабое возмущение. Одновременно давление окружающего газа  $p_\infty$  становится определяющим в области  $(r_s, r_i)$ , в результате чего ударная волна  $s$  стремится к некоторому фиксированному положению  $r_s = r_{ss}$ , определяемому величиной  $\sim r_1(p_{01}/p_\infty)^{1/v}$  [3].

В дальнейшем будем пользоваться следующей терминологией (см. фиг. 1): I — начальный этап расширения ( $r_e - r_i \ll r_i; r_i - r_s \ll r_i; r_i \ll r_{ss}$ ); II — промежуточный этап расширения; III — заключительный этап расширения ( $t \rightarrow \infty; r_i \rightarrow \infty; r_e \rightarrow \infty; r_s \rightarrow r_{ss}$ ).

**3. Основные закономерности движения поверхностей сильного разрыва на начальном этапе расширения газа в затопленное пространство.** Ограничимся рассмотрением в рамках теории идеальной жидкости модельной задачи о расширении газа от внезапно включенного стационарного источника с  $M_1^2 \gg 1$ . Условия в затопленном пространстве возьмем типичными для практики:  $\rho_\infty \ll \rho_1; T_\infty \ll T_{01}$ . В предельном случае расширения газа в вакуум задача имеет простое решение: газ (в частности, его передний фронт, т. е. контактная поверхность) движется с почти постоянной скоростью  $u \approx u_{\max} \approx u_1$ , а распределения  $p, \rho$  и  $T$  в области  $(r_1, r_i)$  близки к таковым при стационарном расширении [1].

Исходя из закона сохранения импульса, определим движение контактной поверхности. Пользуясь соображениями теории тонкого сжатого слоя [4,5], будем считать, что на начальном этапе расширения масса газа, сосредоточенного в сжатом слое  $(r_s, r_e)$ , движется в среднем со скоростью  $V_i = \frac{dr_i}{dt}$ . Поскольку по условиям задачи  $M_1^2 \gg 1$  и толщина сжатого слоя мала, воздействием давления за счет уширения трубок тока на движение газа можно пренебречь. Кроме того, можно пренебречь и противодавлением  $p_\infty$ , так как для достаточно малых  $T_\infty$  (или, точнее, для  $c_\infty^2 \ll V_i^2$ ) торможение истекающего газа будет происходить в основном за счет вовлечения в движение вытесненного окружающего газа. С учетом этого уравнение сохранения импульса запишется в виде

$$(3.1) \quad \frac{d}{dt'} \left[ (m'_{s,i} + m'_{i,e}) \frac{\dot{r}_i}{dt'} + 2v\pi \int_{r_1}^{r_s} \rho' u' r' v dr' \right] = 2v\pi \rho_1 u_1'^2 r_1' v,$$

где штрих обозначает размерную переменную, а  $m'_{s,i}$  и  $m'_{i,e}$  — соответственно массу газа в областях  $(r_s, r_i)$  и  $(r_i, r_e)$ .

Ясно, что  $m'_{i,e}$  приближенно равна массе вытесненного окружающего газа. В частности, для  $r_i' \gg r_1'$

$$(3.2) \quad m'_{i,e} = \frac{2v}{v+1} \pi \rho_\infty r_i'^{v+1}.$$

Для определения величины  $m'_{s,i}$  воспользуемся уравнением сохранения массы истекающего газа. При  $t' \gg t_1'$  приближенно

$$(3.3) \quad m'_{s,i} = 2v\pi \rho_1 u_1' r_1' v t' - 2v\pi \int_{r_i}^{r_s} \rho' r' v dr'.$$

В области  $(r_1, r_s)$  течение газа совершаются так, как если бы газ расширялся в вакуум. В частности, когда  $M_1^2 \gg 1$ , имеем  $u' \approx u'_1$  и

$$(3.4) \quad \rho' r'^v = \rho'_1 r'^v,$$

чтобы воспользоваться для вычисления интегралов, входящих в (3.1) и (3.3). Заменив, кроме того, верхние пределы интегрирования в указанных интегралах на близкую величину  $r_i$ , после подстановки (3.2) и (3.3) в (3.1) и двухкратного интегрирования получим закон движения контактной поверхности:

$$(3.5) \quad (r_i - t)^2 = b r_i^{v+2} + C_1 t + C_2, \quad b \equiv \frac{2}{(v+1)(v+2)} \rho_\infty,$$

где  $r_i = r'_i / r'_1$ ;  $t = t' u'_1 / r'_1$ ;  $\rho_\infty = \rho'_\infty / \rho'_1$ . При  $r_i, t=0(1)$  из (3.5) и соответствующего ему дифференциального выражения первого порядка для постоянных интегрирования следует оценка  $C_1, C_2 \ll 0 (\rho_\infty)$ . Поэтому для  $r_i, t \gg 1$  окончательно имеем

$$(3.6) \quad t = r_i + \sqrt{b} r_i^{\frac{v+2}{2}}.$$

При  $r_i \ll b^{-1/v}$  (3.6) дает  $r_i = t$ , что соответствует решению для расширения газа в вакуум [1].

Влияние затопленного пространства начинает проявляться при  $r_i = 0(b^{-1/v})$ . Рассмотрим полученное решение при  $r_i \gg b^{-1/v}$ , где

$$(3.7) \quad r_i = b^{-1/v} + 2 t^{2/v+2}.$$

Возвращаясь в (3.7) к размерным переменным

$$(3.8) \quad r'_i = \left[ \frac{(v+1)(v+2)}{2} \frac{\rho'_1 u'^2 r'^v}{\rho_\infty} \right]^{-\frac{1}{v+2}} t'^{\frac{2}{v+2}},$$

видим, что движение контактной поверхности для каждого  $v=1,2$  определяется лишь двумя величинами —  $\rho_\infty$  и импульсом источника в единице времени  $I'_1 = 2\pi \rho'_1 u'^2 r'^v$ . При пренебрежении давлением  $p_\infty$  состояние газа в окружающем пространстве определяется одной, не равной нулю размерной величиной  $\rho_\infty$ . Поэтому и сам процесс течения газа в области  $(r_i, \infty)$  определяется лишь двумя размерными величинами —  $I'_1$  и  $\rho_\infty$ . Так как их размерности независимы, то в области  $(r_i, \infty)$  имеется автомодельное решение задачи, зависящее от  $v, \kappa$  и единственной переменной [6]

$$(3.9) \quad \lambda = \left( \frac{I'_1}{\rho_\infty} \right)^{-\frac{1}{2+v}} r' t'^{\frac{2}{v+2}}.$$

Поверхностям сильного разрыва при этом соответствуют некоторые фиксированные значения  $\lambda$ .

Это решение сводится к известному решению задачи о вытеснении газа расширяющимся цилиндрическим или сферическим поршнем, движущимся по степенному закону  $r'_i = C' t'^{n+1}$  (3.8). В частности, имеем

$$(3.10) \quad r_e(t) = \frac{\lambda_e}{\lambda'_i} r_i(t); \quad \frac{\lambda_e}{\lambda'_i} = a(n, \kappa, v),$$

где  $n = -v/(v+2)$ . Для  $\kappa=1,4$  численные значения  $a=a(n,\kappa,v)$  даны в [7].

Для оценки величины  $r_e(t)$  формулой (3.10) можно пользоваться и при  $r_i \ll 0(b^{-1/v})$ , поскольку величина  $a$  слабо зависит от показателя степени  $n$  (чего нельзя сказать о самом распределении параметров в области  $(r_i, r_e)$ ). Так, например, для  $\kappa=1,4$  при максимальном изменении  $n$  для (3.6) (от 0 до  $-v/(v+2)$ ) величина  $a$  для  $v=1$  и  $v=2$  меняется в пределах 5% возле некоторого  $a_{cp}=1,13$  [7].

Найдем приближенный закон движения ударной волны  $s$ . Полагая, что в области  $(r_s, r_i)$   $\rho' \approx \rho_s - (\kappa+1)/(\kappa-1)$ , из (3.3) с помощью (3.4) получим

$$\frac{\kappa+1}{\kappa-1} \frac{r_i^{v+1} - r_s^{v+1}}{r_s^v} = (v+1)(t - r_s),$$

где  $t = t'u'_1/r'_1$ ,  $r_\alpha = r'_\alpha/r'_1$ . Или с учетом  $r_i - r_s \ll r_i$

$$(3.11) \quad r_s = \frac{\kappa+1}{2} \left( r_i - \frac{\kappa-1}{\kappa+1} t \right).$$

Для расширения газа в вакуум, когда  $r_i = t$ , (3.11) дает верный результат:  $r_s(t) = r_i(t)$ .

Заметим, что формулы (3.6), (3.10), (3.11), определяющие законы движения поверхностей сильного разрыва  $i, e, s$  на начальном этапе расширения, позволяют перейти к новым переменным

$$\tau = \left( \frac{\rho'_\infty}{\rho'_1} \right)^{1/v} \frac{t'u'_1}{r'_1}; \quad \xi_\alpha = \left( \frac{\rho'_\infty}{\rho'_1} \right)^{1/v} \frac{r'_\alpha}{r'_1}; \quad \alpha = i, e, s,$$

в которых движение указанных поверхностей для различных  $\rho'_\infty/\rho'_1$  будет дано едиными зависимостями.

Результаты проведенного выше рассмотрения позволяют объяснить некоторые закономерности движения поверхностей сильного разрыва при истечении ударно нагретого газа из плоской щели (аналог  $v=1$ ) и круглого отверстия ( $v=2$ ) [2].

Предварительно заметим следующее. Условие  $r_i \gg b^{-1/v}$  эквивалентно условию, что масса вытесненного окружающего газа  $m_{i,e} (\sim \rho'_\infty r_i^{v+1}(t))$  много больше массы газа, поступившего через источник,  $m_{1,e} (\sim \rho'_1 u'_1 r'_1 v t')$ . Это дает физическое объяснение тому факту, что закон движения контактной поверхности  $r_i = r_i(t)$  определяется здесь лишь величинами  $v, I'_1$  и  $\rho'_\infty$ .

Разумно предположить, что и в случае расширения газа от источника с  $M_1=1$ , как это имеет место в экспериментах [2], на участке начального этапа расширения, где  $m_{i,e} \gg m_{1,i}$  и  $r_i \gg r'_1$ , движение контактной поверхности будет по-прежнему определяться двумя размерными величинами —  $I'_1 = 2v\pi (\rho'_1 u'^2 + p'_1) r'_1 v$  и  $\rho'_\infty$ . Тогда здесь справедливы рассуждения, которые выше привели к (3.9) — (3.10).

В [2] были экспериментально определены и представлены в виде зависимостей  $x_\alpha = C_\alpha t^n \alpha (x' = r')$  законы движения фронта истекающего газа ( $\alpha=i$ ) и ударной волны в окружающем газе ( $\alpha=e$ ). Анализ условий эксперимента показывает, что практически на всем начальном этапе рас-

		Эксперимент			Теория
		$\kappa=9/7$	$\kappa=7/5$	$\kappa=5/3$	$\kappa=9/7; 7/5; 5/3$
$v=1$	$n_i$	0,68	0,71	0,65	0,67
	$n_e$	0,71	0,71	0,69	
$v=2$	$n_i$	—	0,54	0,52	0,5
	$n_e$	—	0,66	0,63	

ширения условие  $m_{i,e} \gg m_{i,i}$  выполнено. В таблице дано сравнение значений показателей степени  $n_\alpha$  с теоретическими.

Для  $\kappa=1,4$  известны численные значения величины  $a$  из (3.10) [7]. Поэтому можно сравнить величину  $x_e/x_i$  с теоретической. Для истечения  $N_2$  ( $\kappa=1,4$ ) из щели, где  $n_e=n_i \approx 0,67$ , имеем  $x_e/x_i=1,19$  и  $r_e/r_i=1,16$ .

4. Численный метод решения задачи для вязкого теплопроводного газа. Неустановившееся радиальное течение вязкого теплопроводного сжимаемого совершенного газа описывается следующей системой уравнений [8]:

$$(4.1) \quad \rho \frac{\partial u}{\partial t} + \rho u \frac{\partial u}{\partial r} + \frac{1}{\kappa M_1^2} \frac{\partial p}{\partial r} = \frac{1}{Re_1} \left\{ \frac{4}{3} \frac{\partial}{\partial r} \left[ \frac{\mu}{r^v} \frac{\partial}{\partial r} (r^v u) - 2v \frac{u}{r} \frac{\partial \mu}{\partial r} \right] \right\};$$

$$(4.2) \quad \rho \frac{\partial T}{\partial t} + \rho u \frac{\partial T}{\partial r} - \frac{\kappa-1}{\kappa} \left( \frac{\partial p}{\partial t} + u \frac{\partial p}{\partial r} \right) = \frac{1}{Re_1} \left\{ \frac{1}{\sigma} \frac{1}{r^v} \frac{\partial}{\partial r} \left( r^v \mu \frac{\partial T}{\partial r} \right) + \frac{4}{3} (\kappa-1) M_1^2 \mu \left[ \left( \frac{\partial u}{\partial r} \right)^2 - v \frac{u}{r} \frac{\partial u}{\partial r} + \left( \frac{u}{r} \right)^2 \right] \right\};$$

$$(4.3) \quad \frac{\partial \rho}{\partial t} + \frac{1}{r^v} \frac{\partial}{\partial r} (r^v \rho u) = 0;$$

$$(4.4) \quad p = \rho T,$$

где все величины отнесены к соответствующим при  $r'=r'_1$ ;  $t=t' u'_1 / r'_1$ ;  $Re_1 = \rho'_1 u'_1 r'_1 / \mu'_1$ ;  $M_1 = u'_1 / c'_1$ ; число Прандтля  $\sigma$  и отношение теплоемкостей  $\kappa$  предполагаются постоянными.

Исходя из общей постановки задачи и принимая во внимание характер системы уравнений (4.1) — (4.4), запишем граничные условия в следующем виде:

при  $t=1$   $u=1$ ,  $T=1$ ,  $\rho=1$  для  $r=1$ ;  
 $u=0$ ,  $T=T_\infty$ ,  $\rho=\rho_\infty$  для  $1 < r \leq \infty$ ;

при  $t>1$   $u=1$ ,  $T=1$ ,  $\rho=1$  для  $r=1$ ;  
 $u=0$ ,  $T=T_\infty$  для  $r=\infty$ .

Для нахождения значений  $u$ ,  $T$  и  $\rho$  в области  $(1, \infty)$  при  $t>1$  предполагается использовать соответственно уравнения (4.1) — (4.3). Исключив из (4.1) — (4.2) с помощью (4.4) давление  $p$  и заметив появляющуюся при этом в (4.2) производную  $\partial p / \partial t$  с помощью уравнения неразрывности (4.3), запишем систему уравнений в следующем линейном виде:

$$(4.5) \quad \frac{\partial u}{\partial t} + A_1 \frac{\partial^2 u}{\partial y^2} + A_2 \frac{\partial u}{\partial y} + A_3 u = A_4;$$

$$(4.6) \quad \frac{\partial T}{\partial t} + B_1 \frac{\partial^2 T}{\partial y^2} + B_2 \frac{\partial T}{\partial y} + B_3 T = B_4;$$

$$(4.7) \quad \frac{\partial \rho}{\partial t} + C_2 \frac{\partial \rho}{\partial y} + C_3 \rho = C_4,$$

где  $y=y(r)$  — преобразование, переводящее  $[1, \infty] \ni r$  в  $[0, 1] \ni y$ ;  $A_k$ ,  $B_k$ ,  $C_k$  — комплексы, остающиеся после выделения линейной части. Если учесть, что члены, содержащие произведения  $u \frac{\partial u}{\partial y}$  и  $T \frac{\partial T}{\partial y}$ , включались соответственно в группы  $A_2 \frac{\partial u}{\partial y}$  и  $B_2 \frac{\partial T}{\partial y}$ , запись (4.5) — (4.7) однозначно определяет вид  $A_k$ ,  $B_k$ ,  $C_k$ .

Как показывает опыт предыдущей работы [9], для решения задачи с приемлемой точностью и разумным объемом вычислений необходимо иметь конечно-разностную схему с точностью по пространству  $y$  не ниже  $O(h^2)$ . При аппроксимации уравнений (3.7), (3.8) конечно-разностными можно воспользоваться неявной разностной схемой [9], имеющей точность аппроксимации  $O(\tau + h^2)$  и для соответствующих линейных уравнений устойчивой при любом конечном  $\tau/h^2$ , где  $\tau$  и  $h$  — соответствен-но шаг по времени и по пространству  $y$ . В частности, для (4.5)

$$(4.8) \quad \frac{u_i^{j+1} - u_i^j}{\tau} + A_{1i}^j \frac{u_{i+1}^{j+1} - 2u_i^{j+1} + u_{i-1}^{j+1}}{h^2} + A_{2i}^j \frac{u_{i+1}^{j+1} - u_{i-1}^{j+1}}{2h} + A_{3i}^j u_i^{j+1} = A_{4i}^j + O(\tau + h^2),$$

где  $i$  — номер разбиения по  $y$  ( $0 \leq i \leq N$ );  $j$  — номер временного слоя ( $j \geq 0$ ). Значения  $A_{ki}^j$  вычисляются следующим образом: величины, входящие в  $A_k$  алгебраически, полагаются равными своим значениям в узле  $(t^{j+1}, y_i)$ , а производные по  $y$  вычисляются в точке  $i$ -го слоя с помощью центральных разностей  $O(h^2)$ .

Аналогичным образом аппроксимируется и уравнение (4.6).

Несколько сложнее обстоит дело с уравнением гиперболического типа (4.7) (предполагаем, что  $C_k$  нам известны). Неявная разностная схема с естественной, в данном случае — правосторонней, аппроксимацией пространственной производной приводит к точности по пространству лишь  $O(h)$  [10]. Поэтому поступим следующим образом. Из разложения  $\rho$  по  $y$  в окрестности точки  $(t^{j+1}, y_i)$  в ряд Тейлора имеем

$$\left( \frac{\partial \rho}{\partial y} \right)_i^{j+1} = \frac{\rho_{i+1}^{j+1} - \rho_i^{j+1}}{h} - \left( \frac{\partial^2 \rho}{\partial y^2} \right)_i^{j+1} \frac{h}{2} + O(h^2).$$

Заменив  $\left( \frac{\partial^2 \rho}{\partial y^2} \right)_i^{j+1}$  соответствующей на  $j$ -ом слое, получаем

$$\left( \frac{\partial \rho}{\partial y} \right)_i^{j+1} = \frac{\rho_{i+1}^{j+1} - \rho_i^{j+1}}{h} - \left( \frac{\partial^2 \rho}{\partial y^2} \right)_i^j \frac{h}{2} + O(\tau + h^2).$$

Таким образом, разностная схема для (4.7) может быть записана в виде

$$(4.9) \quad \frac{\rho_i^{j+1} - \rho_i^j}{\tau} + C_{2i}^j \frac{\rho_{i+1}^{j+1} - \rho_i^{j+1}}{h} + C_{3i}^j \rho_i^{j+1} + C_{4i}^j = \\ = C_{2i}^j \left( \frac{\partial^2 \rho}{\partial y^2} \right)_i^j \frac{h}{2} + O(\tau + h^2),$$

где  $\left(\frac{\partial^2 \rho}{\partial y^2}\right)_i^j = \frac{\rho_{i+1}^j - 2\rho_i^j + \rho_{i-1}^j}{h^2}$ , а  $C_{ki}$  вычисляются аналогично  $A_{ki}^j$ ,  $B_{ki}^j$ .

Нетрудно убедиться [10], что при  $C_k = \text{const}$  (т. е. для линейного уравнения) схема (4.9) устойчива при любом конечном  $t/h$ .

Величины  $u_i^{j+1}$  для  $j \geq 0$  определялись с помощью метода прогонки [10] из системы уравнений  $u_0^{j+1} = 1$ , (4.8) для  $1 \leq i \leq N-1$ ,  $u_N^{j+1} = 0$ . Аналогичным образом вычислялись и  $T_i^{j+1}$ . Величины  $\rho_i^{j+1}$  определялись из (4.9) с начальным условием  $\rho_0^{j+1} = 1$ . Необходимая для этого при  $j \geq 1$  величина  $\rho_N^j$  определялась с помощью экстраполяции по  $\rho_i^j$  ( $N-3 \leq i \leq N-1$ ). В проведенных расчетах  $\rho_N^j$  совпадала с  $\rho_N^0 = \rho_\infty$  с точностью до 5 значащих цифр.

В качестве  $y = y(r)$  в расчетах использовалась функция  $y = (2/\pi) \arctg[(r-1)/l]$ , где  $l = 0(r_{ss})$ . Шаг по пространству  $h$  был принят равномерным, а величина шага по времени  $t$ , в связи с тем, что скорость развития процесса по времени меняется с течением времени весьма значительно, выбиралась из соотношения

$$\tau^{j+1} A^j = \tau^1 A^0, \quad A^j = \max_{1 \leq i \leq N-1} \left( \left( \frac{\partial \ln u}{\partial t} \right)_i^j, \quad \left( \frac{\partial \ln T}{\partial t} \right)_i^j, \quad \left( \frac{\partial \ln \rho}{\partial t} \right)_i^j \right).$$

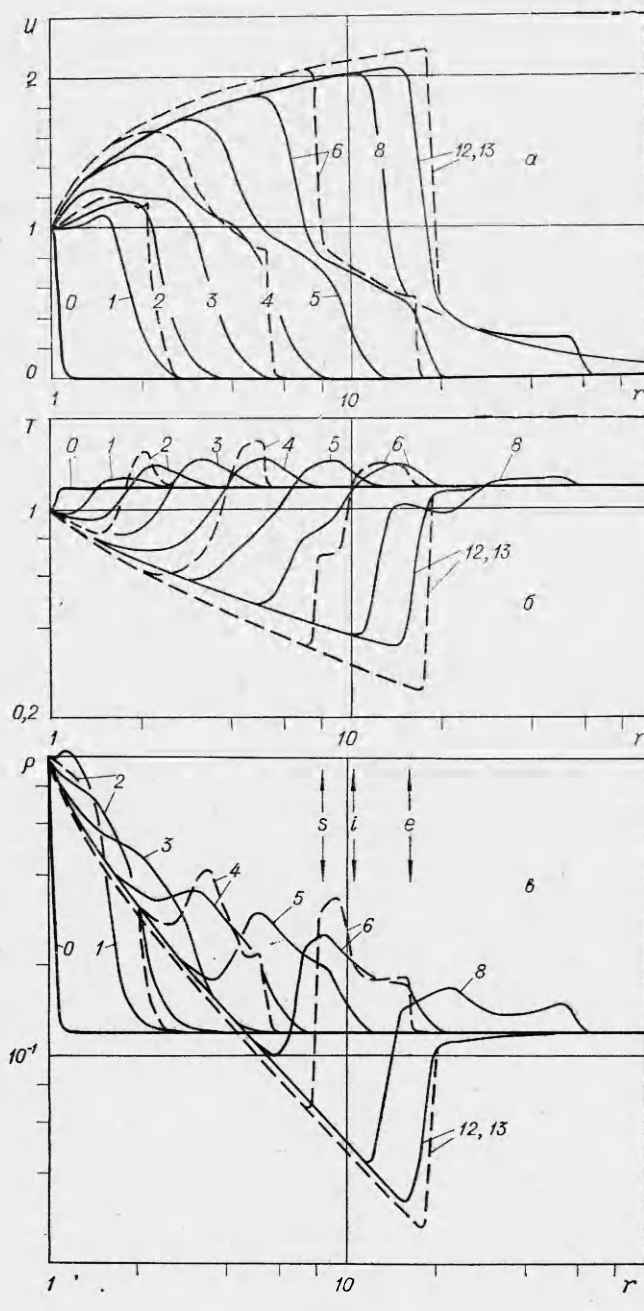
Процесс считался установившимся, если  $A^j \leq \varepsilon$ . Величины  $\tau^0$ ,  $h$ ,  $\varepsilon$  подбирались экспериментально так, чтобы при их изменении в 5 раз, отличие в распределении параметров в сходные моменты времени не отличалось на величину, большую чем 2–3%.

**5. Результаты численного решения задачи для вязкого теплопроводного газа.** На фиг. 2 в качестве примера, иллюстрирующего развитие течения вязкого теплопроводного газа, даны распределения параметров потока для расширения газа от внезапно включенного цилиндрического источника ( $v=1$ ) с  $M_1=M_* \equiv 1$  в среду с  $\rho_\infty=0,12$ ,  $T_\infty=T_{0*}=1,2$ . Здесь  $\kappa=7/5$ ,  $\sigma=3/4$ ,  $\mu=T$ .

Цифрой 0 помечены распределения параметров, соответствующие моменту  $t_0=1$ . Эти распределения, представляющие собой слаженные разрывы, задавались в расчетах в качестве исходных. Цифрами 1–13 помечены моменты по времени  $t_k=1+0,32 \cdot 2^k$ . Сплошные линии соответствуют  $Re_* = 25$ , штриховые —  $Re_* = 200$ . Стрелочками с индексами  $s$ ,  $i$ ,  $e$  показаны условные в пределах 5–7% положения соответствующих поверхностей сильного разрыва для момента  $t_6=11,28$  (здесь и далее термин «поверхность» будет употребляться в случае, когда рассматриваются интегральные характеристики ударных волн или контактной зоны: положение, перепад параметров и т. д.).

Общая картина течения соответствует изложенной в п. 2. Ударная волна  $e$  формируется практически сразу после начала истечения газа. Так, в момент  $t_2$  отличие в величине  $T/\rho^{\kappa-1}$  «до» и «после» волн уже составляет 30% (для  $Re_* = 200$ ). Процесс сжатия газа перед внутренней поверхностью «поршня»  $i$  в течение некоторого времени продолжает быть изэнтропическим. Например, для того же  $Re_*$  в момент  $t_4$  поведение  $\rho$  и  $T$  в области от  $r=1$  до точки с максимальным значением  $\rho$  еще подчиняется закону  $T=\rho^{\kappa-1}$  с точностью 5%. В момент времени  $t_6$  ударная волна  $s$  уже сформирована.

Течение газа в области  $(1, r_s)$  совершается так же, как при расширении в вакуум. Причем, поскольку в данном случае  $\rho_\infty$  и  $T_\infty$  достаточно велики, контактная поверхность движется медленнее, чем граница области



Фиг. 2

стационарного течения при расширении газа в вакуум [1]. Поэтому течение газа в области  $(1, r_s)$  стационарно. Оно обладает свойствами, присущими стационарному радиальному течению при расширении газа в вакуум [9]. Заметим, что влияние  $Re_*$ ,  $\kappa$ ,  $\sigma$  и зависимости  $\mu = \mu(T)$  для  $\nu=1$  и  $\nu=2$  проявляется здесь аналогичным образом.

Поведение параметров потока в области  $(r_i, r_e)$  на начальном этапе рас-

ширения (до  $t=0$  ( $t_0$ )) качественно соответствует поведению параметров в задаче о поршне [7].

При  $t \rightarrow \infty$   $r_e$ ,  $r_i \rightarrow \infty$  и  $r_s \rightarrow r_{ss}$ . При этом в результате вырождения ударной волны  $e$  в слабое возмущение  $T_{i+} \rightarrow T_\infty$ . В то же время  $T_{i-}$  стремится к температуре торможения истекающего газа  $T_{0*}$ , в данном случае равной  $T_\infty$ . Следовательно,  $T_{i+} \rightarrow T_{i-}$ . Поскольку на контактной поверхности, кроме того,  $u_{i+} = u_{i-}$  и  $p_{i+} = p_{i-}$ , перепад параметров на ней при  $t \rightarrow \infty$  исчезает, и течение приходит к стационарному режиму.

Следует отметить, что уменьшение общей сплошности потока (уменьшение  $Re_*$ ), приводящее к значительному изменению параметров во всей области течения, на мгновенном положении ударных волн и контактной поверхности оказывается довольно слабо.

Качественная картина течения для случая сферического ( $v=2$ ) расширения вязкого теплопроводного газа в затопленное пространство с  $T_\infty = T_{0*}$  вполне аналогична описанной выше. Существенное различие между случаями  $v=1$  и  $v=2$  проявляется при  $T_\infty \neq T_{0*}$  и касается в основном заключительного этапа расширения. Этот вопрос требует специального рассмотрения и в данной статье обсуждаться не будет.

На фиг. 3 дано сравнение зависимостей  $r_i = r_i(t)$  для начального этапа расширения газа при  $v=1$ , найденных с помощью приближенного рассмотрения и. 3 (формула (3.6), кривая 1) и по результатам численного расчета (кривая 2). Здесь  $\kappa = 7/5$ ;  $M_1 = 5$ ;  $\rho_\infty / \rho_1 = 0,123$ ;  $T_\infty / T_1' = 0,145$ . Для достижения лучшей точности приближенного решения в (3.2) вместо  $r_i$  была введена, согласно (3.10), величина  $r_e = ar_i$ , по физическому смыслу соответствующая  $t_{i.e.}$ . Это привело к новому виду величины в (3.6):

$$b = \frac{2a^{v+1}}{(v+1)(v+2)} \rho_\infty, \quad a = 1,13.$$

Дополнительные условия для численного расчета:  $\sigma = 3/4$ ;  $\mu = T$ ;  $Re_1 = 400$ . Штриховой линией для наглядности показана зависимость  $r_e = t$ , соответствующая расширению в вакуум.

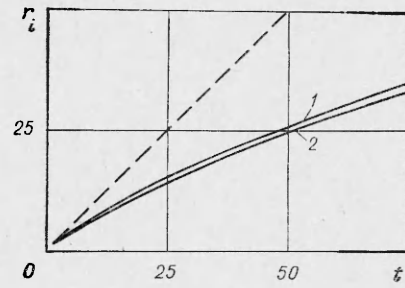
Приближенные зависимости  $r_e(t)$  и  $r_s(t)$ , определяемые формулами (3.6), (3.10) с  $a=1,13$ , (3.11), согласуются с теми же по результатам численного расчета с точностью 5–10%.

Автор благодарит А. К. Реброва за полезные обсуждения.

Поступила 4 VI 1974

#### ЛИТЕРАТУРА

- Гусев В. Н. К вопросу о запуске сверхзвуковых сопел.— «Инж. журн.», 1961, № 1.
- Набоко И. М., Белавин В. А., Голуб В. В., Опара А. И. Исследование нестационарной структуры потока при истечении ударно нагретого газа.— ПМТФ, 1973, № 5.
- Simons G. A. The large time behavior of a steady spherical source expanding into an arbitrary ambient gas.— «AIAA Paper», 1970, N 70—232.
- Черный Г. Г. Задача о точечном взрыве.— «Докл. АН СССР», 1957, т. 112, № 2.
- Зельдович Я. Б., Райзнер Ю. П. Физика ударных волн и высокотемпературных газодинамических явлений. М., Физматгиз, 1963.
- Седов Л. И. Методы подобия и размерности в механике. М., «Наука», 1965.
- Коробейников В. П., Мельникова Н. С., Рязанов Е. В. Теория точечного взрыва. М., Физматгиз, 1961.
- Широков М. Ф. Физические основы газодинамики. М., Физматгиз, 1958.
- Ребров А. К., Чекмарев С. Ф. Сферическое истечение вязкого теплопроводного газа в затопленное пространство.— ПМТФ, 1971, № 3.
- Годунов С. К. Уравнения математической физики. М., «Наука», 1971.



Фиг. 3